

III-7 帯状荷重による二次元圧密の計算

京都大学工学部 正 昌昭治郎

同 正 太田香樹

同 学・金氏 真

1. はじめに

地盤に帯状荷重が加わったような場合の即時地盤（即時変形）と、純粋せん断在応變形に対するじみ在応變形（左応變形）とを計算してみた。報告ある。従来このようないくつか問題に対して首尾一貫した解を与えた理論としてせん断せん断理論がよく用いられてきた。しかし地盤を弾性体として仮定するには相当の無理が感じられる場合が多い。特に地盤の変形に関する精度上の問題があるように思われる。この中の最近非線形の応力-ひずみ関係にもかかわらず、有限要素法なども用いて計算することができる試みられてる。このうち、1. 中子の境界値問題を数値的に解けば、原理的にはどのようないくつか問題も解けることになり得る。2. = Z-報告では計算法はこれら両者の中间的なものであると言えよう。

2. 計算モデル

正規粘土地盤上に帯状荷重が載荷された場合を取り扱った。たとえば、地表の正規粘土は最深には厚さ5mで、これを2.5mとし、地表から1mだけsand matを置き残してあることにした。また砂層の力学的性状は全く考慮せず、たとえば粘土地盤の变形に追従するものと仮定した。

モデルの諸元は図-1(1)である。

3. 応力分布

載荷之初の粘土地盤は自重により K_0 压密され、 $\epsilon = 30\%$ である。初期応力分布は次式で与えられる。

$$\sigma_y = \rho y, \quad \sigma_x = K_0 \sigma_y = K_0 \rho y \quad (1)$$

$\epsilon = \epsilon(x, y)$ すなはち水平方向と鉛直方向を表わし、 ρ は浮力を考慮した粘土の单位体積重量、 K_0 は静止土圧係数である。帯状荷重によって半無限等方等質地盤内に生じる応力分布は弾性論によれば次式で与えられる。

$$\begin{aligned} \sigma_y &= \frac{\rho}{\pi} (2\epsilon + \sin 2\epsilon \cos 2\psi) \\ \sigma_x &= \frac{\rho}{\pi} (2\epsilon - \sin 2\epsilon \cos 2\psi) \\ \tau_{xy} &= \frac{\rho}{\pi} \sin 2\epsilon \sin 2\psi \end{aligned} \quad (2)$$

$\epsilon = \epsilon(x, y)$ は荷重である、 ϵ 、中で図-2は示されることがわかる。式(2)はすなはち応力分布は

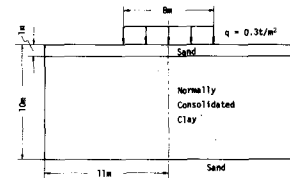


図-1 計算モデル

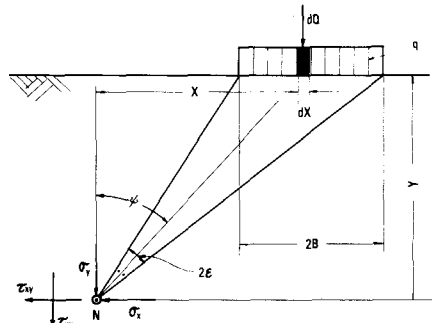


図-2 弾性理論による応力分布
(土圧係数(第4)による)

地盤の弾性定数は無関係である。ここで地盤内応力として(1), (2)式の和を σ_m' とおき、一応応力分布が求められる。ここで平面ひずみの下での近似的応力条件として、中间主応力と平均主応力に等しいとすれば、地盤の任意の点 x の八面体全応力を求められる。

4. 地盤内有効応力分布(即時)

異方圧密された正規圧密粘土を非排水条件のもとせん断すると、有効応力状態は式で表される。

$$\tau_{act} = k \sigma_m' + \frac{\lambda}{(1+e_0)\mu} \sigma_m' \ln \frac{\sigma_m'}{\sigma_{m0}'} \quad (3)$$

$= z \cdot \lambda$, μ は粘土の力学定数であり、 σ_{m0}' とは初期圧力で異方圧密したときの間げき比 e_0 である。 λ は異方圧密のときの τ_{act}/σ_m' の比である。(3)式の横線の上には active state ($\tau_{act}/\sigma_m' > k$) と増大する方向に応力を加えられたとき) を示し、下には passive state ($\tau_{act}/\sigma_m' < k$ の場合) を示す。(3)式の τ_{act} は全応力・有効応力表示に比べて差がないから、全応力の σ_m' もかっておれば、(3)式から一意的に定まる σ_m' との差をとるだけである、任意の点の間げき水压が求まる。

このようにして計算した間げき水压分布図-3 は以下のようである。

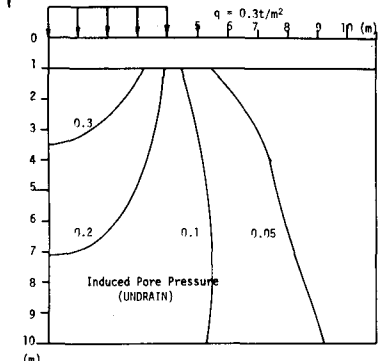


図-3 間げき水压分布

5. 応力-ひずみ関係

正規圧密粘土に対する応力-ひずみ関係は一般的に次のような微分方程式で与えられる。

$$d\epsilon_{ij} = \frac{\mu}{3\sigma_m'} \left[\left(\frac{\lambda-\kappa}{(1+e_0)\mu} \pm \frac{\tau_{act}}{\sigma_m'} \right) \delta_{ij} \pm \frac{1}{\tau_{act}} (\sigma_{ij}' - \sigma_m' \delta_{ij}) \right] \left[d\sigma_m' \pm \frac{d\tau_{act}}{\frac{\lambda-\kappa}{(1+e_0)\mu} \mp \frac{\tau_{act}}{\sigma_m'}} \right] \\ + \frac{\kappa}{3\sigma_m'} \frac{d\sigma_m'}{1+e_i} \delta_{ij} \quad (4)$$

したがって、より正確な荷重をかけたときの地盤のひずみを計算するには載荷の厚層に沿って(4)式を積分しなければならぬ。ここで $q = 10$ t/m² のとき、 $q/100$ が載荷するごとに生じる微少ひずみの分布は図-4, 5 のようである。これらはの計算に用いた工質定数は

$$\rho = 1.63 \text{ t/m}^3$$

$$\lambda = 0.31, \kappa = 0.11$$

$$\mu = 0.12, K_0 = 0.5$$

$$(k = 0.35)$$

である。

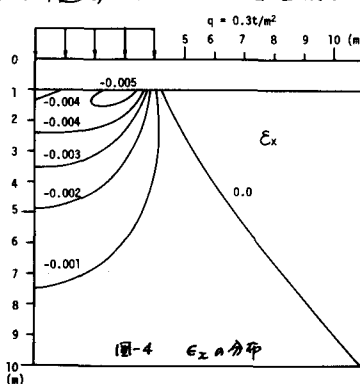


図-4 ϵ_x の分布

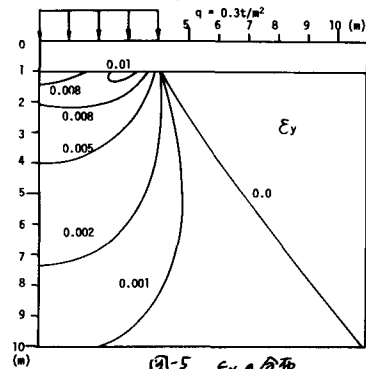
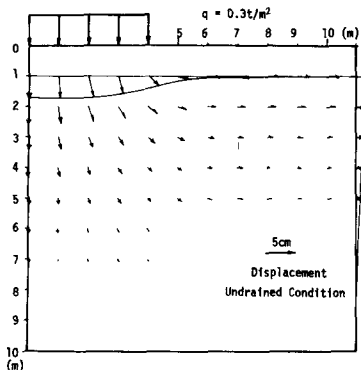


図-5 ϵ_y の分布

6. 即時変形

求められたいすみの分布から、地盤中の各点の変位を計算すると、即時変形が求められる。このような例が図-5に示されています。これは、いわゆる側方流動と呼ばべきもので、粘土の流れの様相はおおむね妥当なものであろうと思われます。載荷直後の即時変形を非排水応力・ひずみ関係のもとで有限要素法などを用いて解くと、3例を見ても、流動の傾向は図-6と類似してます。



7. 壓密理論

三次元压密のための基礎方程式は、正規压密粘土に対しては、

図-5 即時変形

$$-\frac{\partial}{\partial x} \left(\frac{k_x}{f_m} \frac{\partial u}{\partial x} \right) - \frac{\partial}{\partial y} \left(\frac{k_y}{f_m} \frac{\partial u}{\partial y} \right) - \frac{\partial}{\partial z} \left(\frac{k_z}{f_m} \frac{\partial u}{\partial z} \right)$$

$$= \frac{1}{\sigma_m - u} \left[-\frac{\lambda}{1+e_0} \pm \mu \frac{T_{act}}{\sigma_m - u} \right] \frac{\partial u}{\partial t} \quad (5)$$

k_x, k_y, k_z は等しくない場合、また2次元問題では等しい場合、(5)式は簡単化されます。

$$-\frac{k}{f_m} \frac{\partial^2 u}{\partial x^2} - \frac{k}{f_m} \frac{\partial^2 u}{\partial y^2} = \frac{1}{\sigma_m - u} \left[-\frac{\lambda}{1+e_0} \pm \mu \frac{T_{act}}{\sigma_m - u} \right] \frac{\partial u}{\partial t} \quad (6)$$

これを図-3のようないきなり初期条件と、両面排水という境界条件のもとに数値的に解けばよい。

8. 同げき水圧の消散過程

(6)式を差分的に解くと同げき水圧の消散過程を追跡することができます。計算上用いる時間間隔 Δt はレーティングと3方が有利に見えますが、実際には各位置で3つとも同げき水圧の消散の様相が異なります。等間隔の方がよろしい。たとえば $\Delta t = 10$ 日とした。図-7は荷重の直下の点と、荷重端の直下の点の同げき水圧の深さ方向の分布とその経時変化を示しています。図-3からもわかるように荷重中心の直下では荷重 $q = 0.3 t/m^2$ と大きさ同じく3水圧が生じています。これだけダイレクトな影響が強いためです。

元压密の考え方では、荷重直下の同げき水圧は $0.3 t/m^2$ の等分布になります。しかし、荷重端の下では、荷重の大きさが半分以上減少するため、荷重端の下では荷重直下の約半分の同げき水圧が生じます。

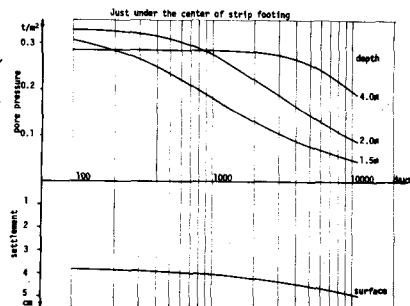


図-8 荷重中心直下の同げき水圧

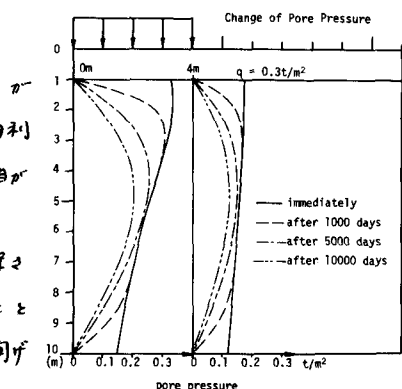


図-7 同げき水圧分布の経時変化

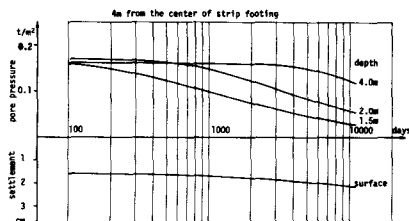


図-9 荷重端の下の同げき水圧

图-8と水压分布に图-2と图-3との注目される。图-8、图-9は、荷重中心と、荷重端の下の奥の間で水压の経時変化と地表の沈下量の経時変化が示されてる。排水層に近いところほど消散が早くすんでる点とがわかるとともに、経時沈下(压密沈下)よりも即時沈下の方がはるかに大きい値を示すことが明らかである。

9. 变形の経時変化について

ひずみの経時変化は、正規圧密粘土に付しては

$$\frac{\partial \epsilon_{ij}}{\partial t} = \frac{1}{3\sigma_m'} \left[\left\{ \frac{\lambda}{(1+e_0)\mu} \mp \frac{T_{act}}{\sigma_m'} \right\} \delta_{ij} \pm \frac{1}{T_{act}} (\sigma'_{ij} - \sigma_m' \delta_{ij}) \right] \frac{\partial \sigma_m'}{\partial t} \quad (7)$$

で与えられる。これは $\frac{\partial u}{\partial t}$ が求められてることから、純粋 $\frac{\partial \sigma_m'}{\partial t}$ と σ_m' が求まることにヒントがある。従って、(7)式よりひずみの経時変化が計算されるから、前と同様の方法により、变形の経時変化が求められる。图-10 は 10000 日後の变形を示したものである。图-6と比較すると、載荷直後は側方に押しひき下部土が、荷重の下の部分の水がしぶり出すものにつれて、再びもとの位置に向って戻る、といった様子が理解される。ただし、この場合、せん断ひずみは時間とともに倍大していることに注意を要する。また图-6と10との比較から、即時沈下の方が圧密沈下よりも大きい値であることも理解される。このことは、一般的な傾向ではあるとはいいながら「かもしだれがり」、サンドドレーンの効果についても地盤下強度增加の2つにわけて、前者にはあらず効果がないが後者には効果があると可と意見を支持していふのがうかに見える。

10. あとがき

二次元的な特性、たとえばダムラクシーやせん断变形を考慮した变形理論・压密理論の必要性は従来から強調されてきたが、粘土の力学的な挙動をある程度一般的に表現できる構成方程式立ち上げたものがさがったようにならねる。

ニニニ報告した計算は、さうして簡単なモデルに対するものであり、直ちに複雑な実際の地盤に適用すれば、必ず程度の技術的な工夫が必要となる。今後、実際の現場での变形などと比較したりする機会にめぐまれれば、そのうちが工夫もできるかと思われる。

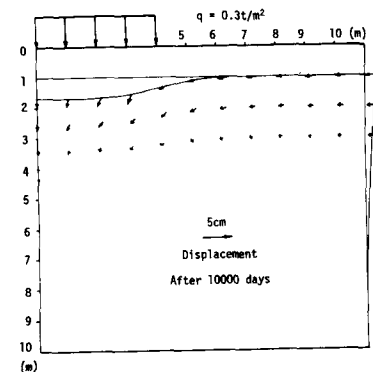


图-10 10000 日後の变形